

Modely farieb

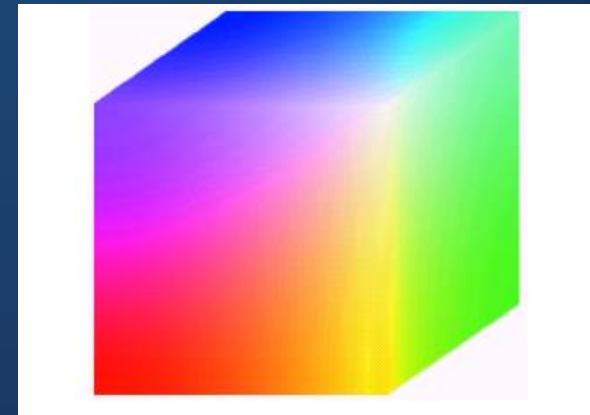
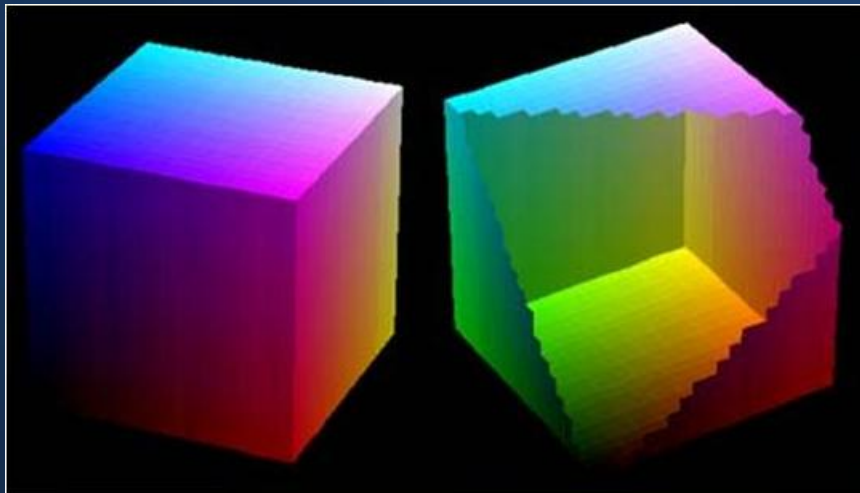
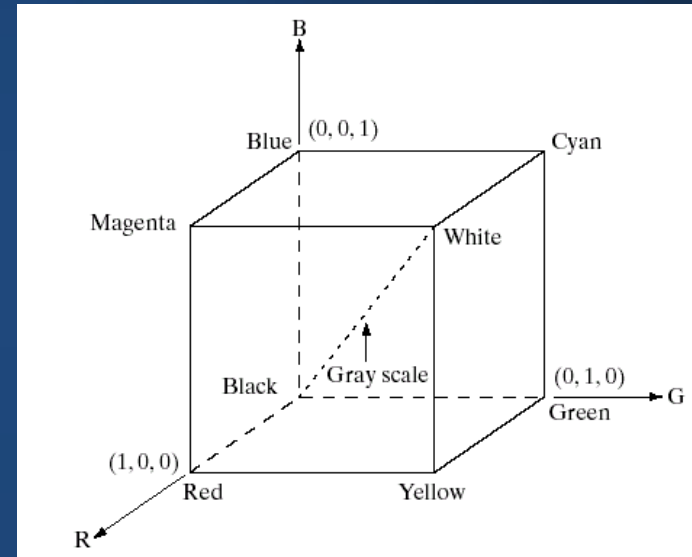
MODELY FARIEB

- *HW orientované:*
 - *RGB, CMYK, televízne normy*
- *Užívateľsky orientované:*
 - *HLS, HSV, HSI*
- *Vnemoivo rovnomerné (perceptually uniform) :*
 - *CIE Lab, Luv, WUV*
- *Iné:*
 - *XYZ, oponent, TSV, LUX, YES, ...*

RGB

Najznámejší model
Používaný v monitoroch
Farebné svetlá

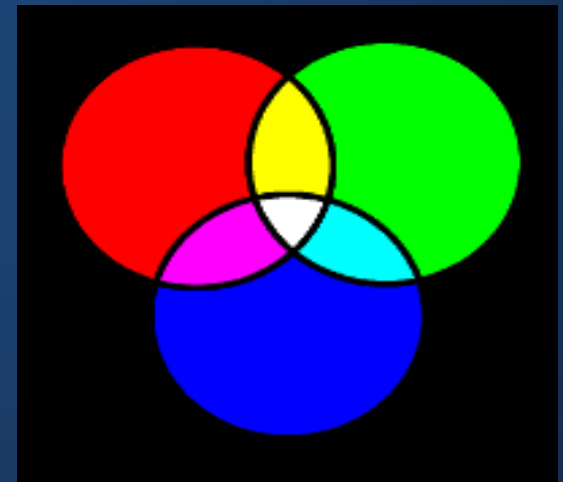
Hodnoty $R, G, B \in \langle 0, 1 \rangle$
Kocka



RGB

Aditívne skladanie farieb: čím viac farieb zložíme, tým je výsledok svetlejší (spočítava sa ich intenzita).

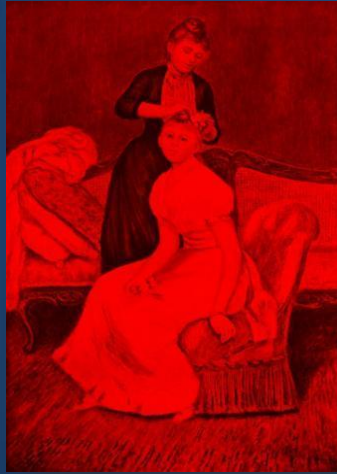
- Veľa rôznych modelov RGB
- Každý ma iné hodnoty základných farieb užívateľovi obvykle nedostupné
- TV spoločnosti si určili hodnoty základných farieb RGB podľa použitých technológií



RGB PŘÍKLAD



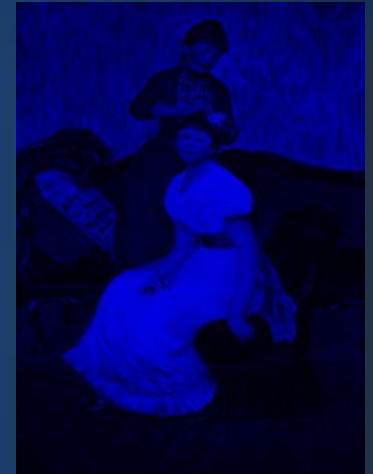
Original



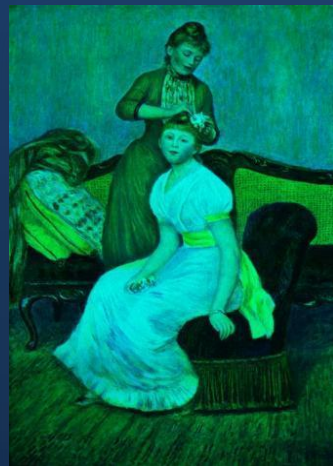
Red Band



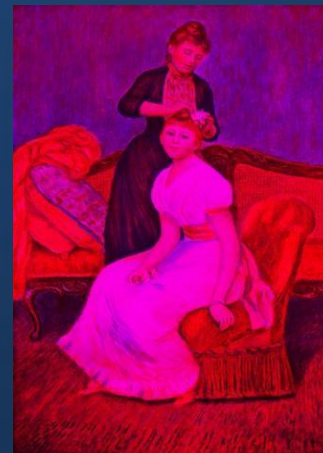
Green Band



Blue Band



No Red



No Green



No Blue

MODELY RGB

CIE RGB – E

NTSC – pôvodne C, teraz D65

EBU (European Broadcast Union) – C alebo D65

CCIR (Comité Consultatif International des Radiocommunications) – D65

ITU-R BT.709 standard

SMPTE (Society of Motion Picture and Television Engineers) – D65

Medzinárodná dohoda pre HDTV

ITU-R BT.709 standard

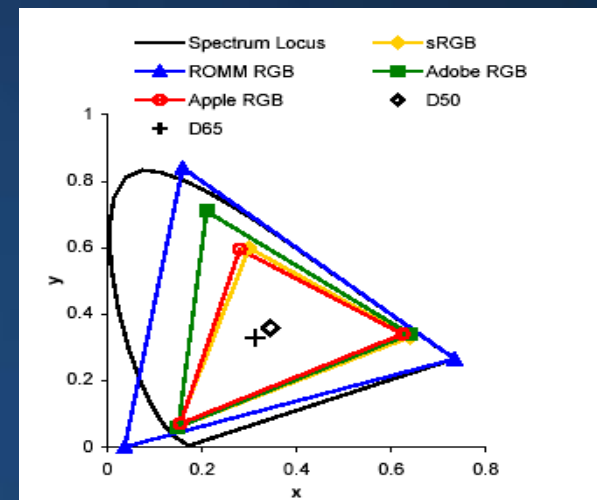


TABLE 3.5-2. XYZ Chromaticity Coordinates of Standard Primaries

Standard		x	y	z
CIE	R_C	0.640000	0.330000	0.030000
	G_C	0.300000	0.600000	0.100000
	B_C	0.150000	0.060000	0.790000
NTSC	R_N	0.670000	0.330000	0.000000
	G_N	0.210000	0.710000	0.080000
	B_N	0.140000	0.080000	0.780000
SMPTE	R_S	0.630000	0.340000	0.030000
	G_S	0.310000	0.595000	0.095000
	B_S	0.155000	0.070000	0.775000
EBU	R_E	0.640000	0.330000	0.030000
	G_E	0.290000	0.600000	0.110000
	B_E	0.150000	0.060000	0.790000
CCIR	R_R	0.640000	0.330000	0.030000
	G_R	0.300000	0.600000	0.100000
	B_R	0.150000	0.060000	0.790000

RGB → XYZ

Lineárna transformácia

Súradnice základných farieb

Súradnice bieleho bodu

$$\begin{bmatrix} a(1) \\ a(2) \\ a(3) \end{bmatrix} = \begin{bmatrix} x_R & x_G & x_B \\ y_R & y_G & y_B \\ z_R & z_G & z_B \end{bmatrix}^{-1} \begin{bmatrix} x_W/y_W \\ 1 \\ z_W/y_W \end{bmatrix}$$

$$\begin{bmatrix} M(1,1) & M(1,2) & M(1,3) \\ M(2,1) & M(2,2) & M(2,3) \\ M(3,1) & M(3,2) & M(3,3) \end{bmatrix} = \begin{bmatrix} x_R & x_G & x_B \\ y_R & y_G & y_B \\ z_R & z_G & z_B \end{bmatrix} \begin{bmatrix} a(1) & 0 & 0 \\ 0 & a(2) & 0 \\ 0 & 0 & a(3) \end{bmatrix}$$

RGB-to-XYZ

$$\begin{bmatrix} X \\ Y \\ Z \end{bmatrix} = \begin{bmatrix} M_{1,1} & M_{1,2} & M_{1,3} \\ M_{2,1} & M_{2,2} & M_{2,3} \\ M_{3,1} & M_{3,2} & M_{3,3} \end{bmatrix} \cdot \begin{bmatrix} R \\ G \\ B \end{bmatrix}$$



RGB

R

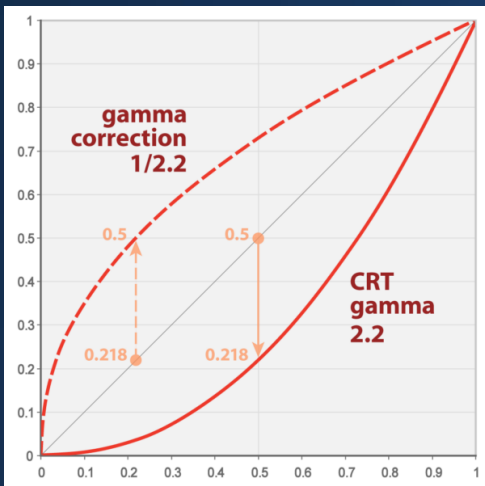
G

B

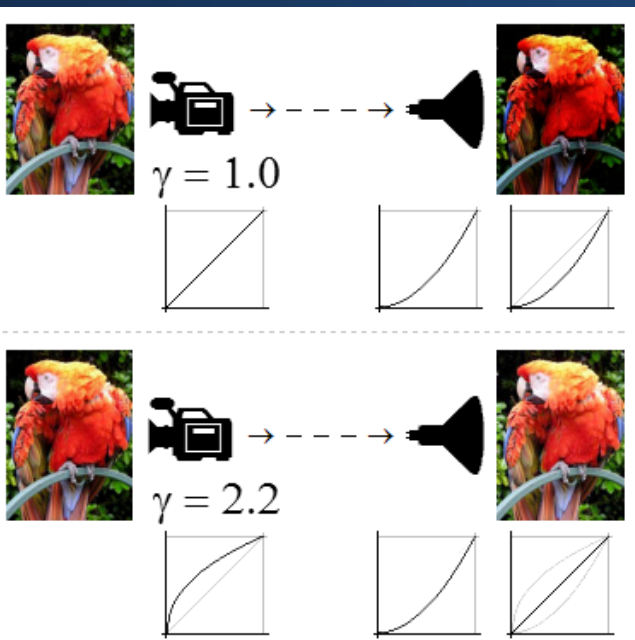


- *Lineárne RGB*
 - *lineárna transformácia z XYZ*
 - *vnemovo neuniformný*
 - *Device independent*
- *Nelineárne RGB*
 - *lineárne RGB pomocou **gamma korekcie** -> nelineárne RGB*
 - *Obrazovky CRT*
 - *Device dependent*

GAMA KOREKCIA



- γ reprezentuje numerický parameter vyjadrujúci nelinearitu reprodukcie intenzity svetla
- CRT nelineárne
 - Intenzita svetla reprodukovaného na monitore je nelineárna funkcia napätia



NTSC $\gamma = 2.2$

RGBA

RGBA- α kanál, informácia o priehľadnosti, akým pomerom sa farba mieša s pozadím.

Používa sa napríklad v OpenGL

$\alpha = 1$ perfektne nepriesvitné

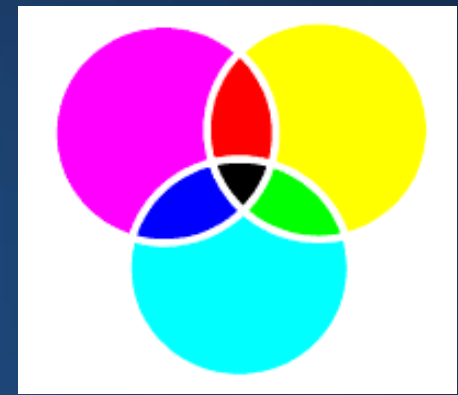
$\alpha = 0$ úplne priehľadné

$0 < \alpha < 1$ rôzne úrovne priesvitnosti

Blending je miešanie rôznych farieb: zdroja a miesta určenia

Priesvitný – čiastočne prepúšťajúci svetlo

CMY



Farebné filtre

Farba telies - farby sa ukladajú na seba, svetlo musí prejsť vrstvami (filtrami) a odraziť sa od podkladu

Komplementárny model k RGB:

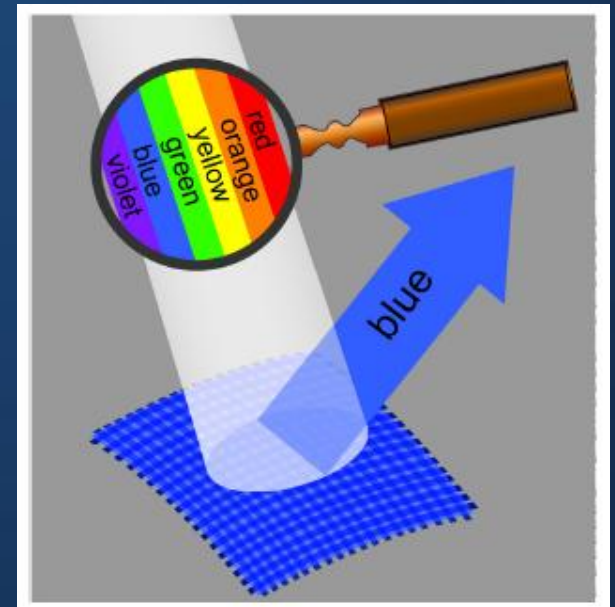
$$C = 1 - R$$

$$M = 1 - G$$

$$Y = 1 - B$$

Subtraktívne skladanie farieb

pridávaním pigmentu tvorí tmavšiu farbu



CMYK

Pri tlači sa používa CMYK (black)

Nemusia sa tlačiť 3 farby na seba - ušetrí sa na drahých farebných náplniach

Čierna sa tlačí samostatne

CMYK (K, black)

$$K^* = \min(1-R, 1-G, 1-B)$$

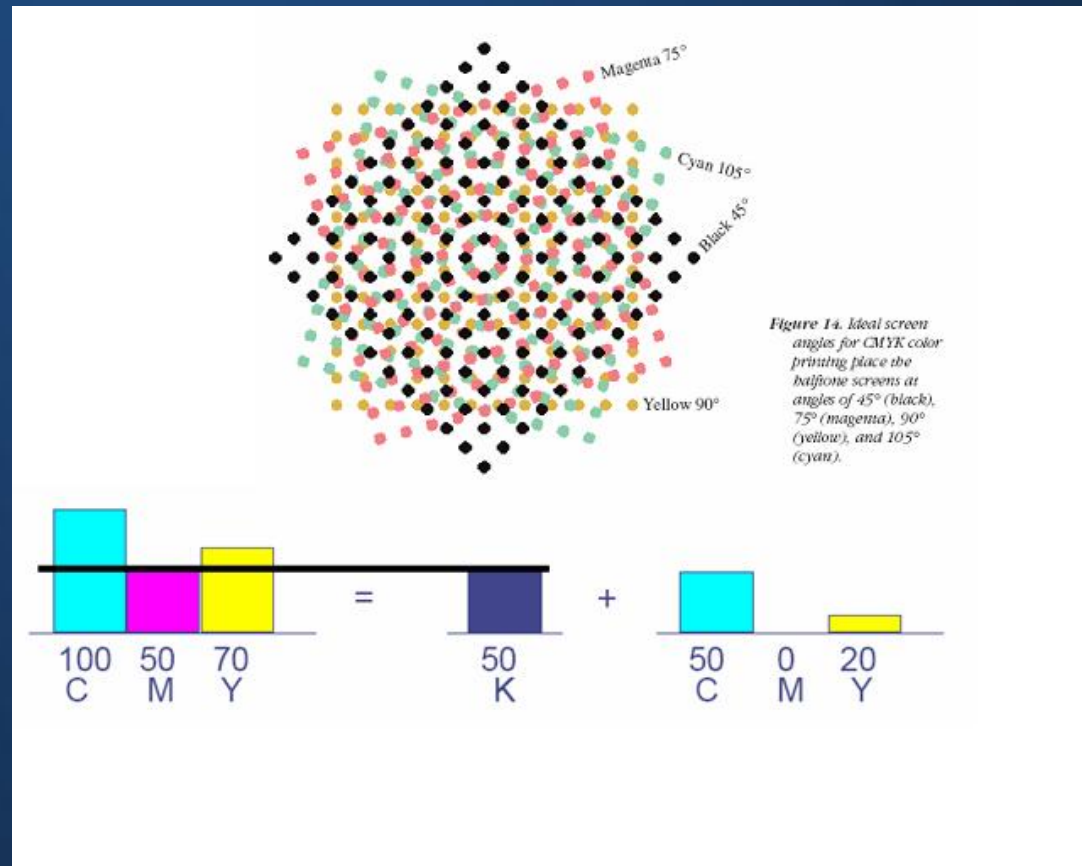
$$C = 1 - R - uK^*$$

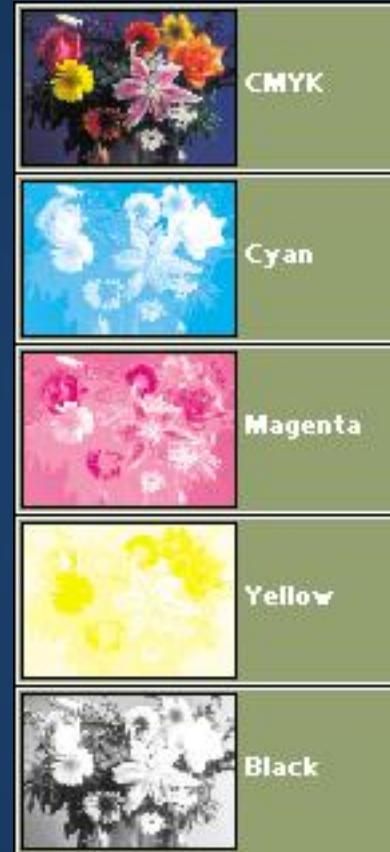
$$M = 1 - G - uK^*$$

$$Y = 1 - B - uK^*$$

$$K = bK^*$$

$$0 \leq u, b \leq 1$$





C

M

K

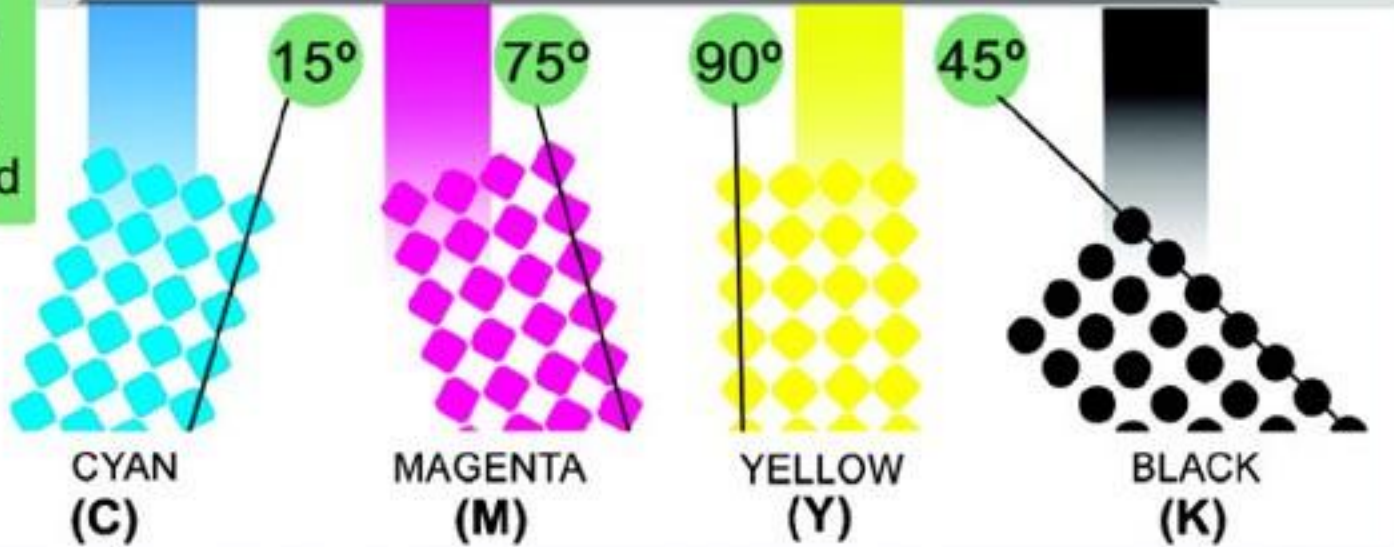
Y



Four color process printing

Print head

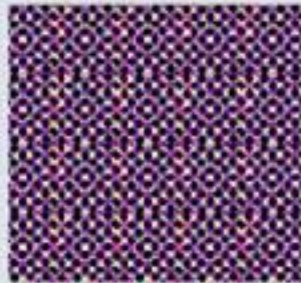
Traditional screen angles for CMYK blend



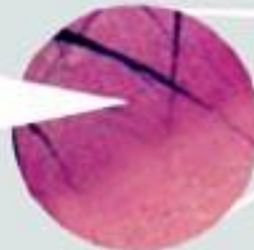
CMYK combined to create a blend



Reduced



Reduced further



section of final image



Four color process separations

Separating an image into the four process colors



Cyan



Magenta



Yellow



Black



MODELY FARIEB “TRIEDY Y”

Televízne a video štandardy

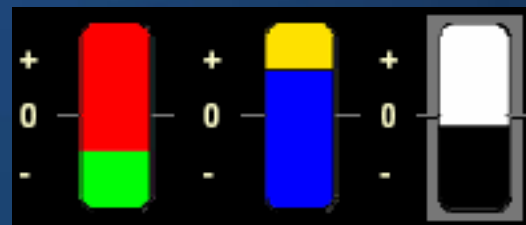
YIQ – NTSC

YUV – PAL

YCbCr – digital video

YPbPr – analógová TV

YCC – Kodak



Farebná zložka oddelená od jasovej (Y)

Farebná zložka: zeleno/červený kanál

modro/žltý kanál

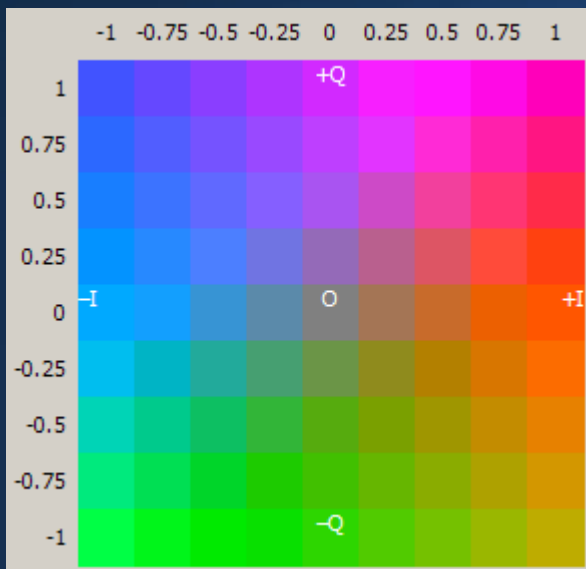
Vo všeobecnosti:

$$Y' = 0.299R' + 0.587G' + 0.114B'$$

$$C_1 = a_1(R' - Y') + b_1(B' - Y')$$

$$C_2 = a_2(R' - Y') + b_2(B' - Y'),$$

$$\begin{bmatrix} Y' \\ C_1 \\ C_2 \end{bmatrix} = M * \begin{bmatrix} R' \\ G' \\ B' \end{bmatrix}$$



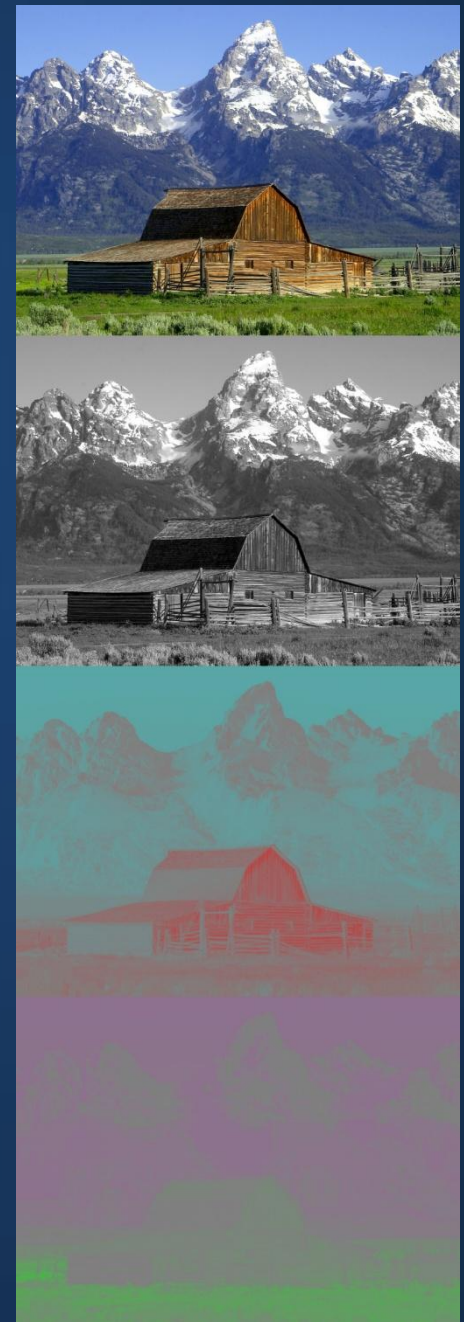
YIQ

Y – luma

I - in-phase, (orange-blue range)

Q – quadrature (purple-green range)

- 1950 NTSC štandard
- kompatibilita s jednofarebným TV
- väčšia šírka pásma pre Y ako pre I Q.
- oddelená jasová zložka – manipulácia bez ovplyvnenia farebnej zložky (histogram equalization)
- vnemovo neuniformné – Euklidovská vzdialenosť nefunguje
- Gama korekcia aplikovaná na lineárny RGB, vážený súčet nelineárnych komponentov RGB -> luma Y



YUV - PAL

Podobne ako YIQ

YUV vzorkovacie formáty 4:4:4, 4:2:2, and 4:2:0

Y U V – vypočítané z RGB s gama korekciou (R G B)

$$Y' = 0.299 * R' + 0.587 * G' + 0.114 * B'$$

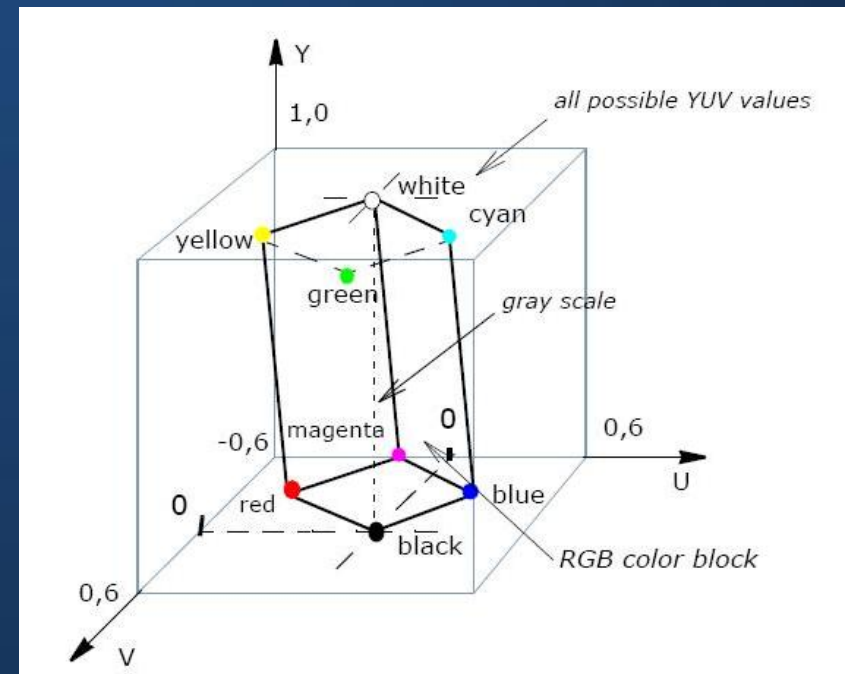
$$U' = 0.492 * (B' - Y')$$

$$V' = 0.877 * (R' - Y')$$

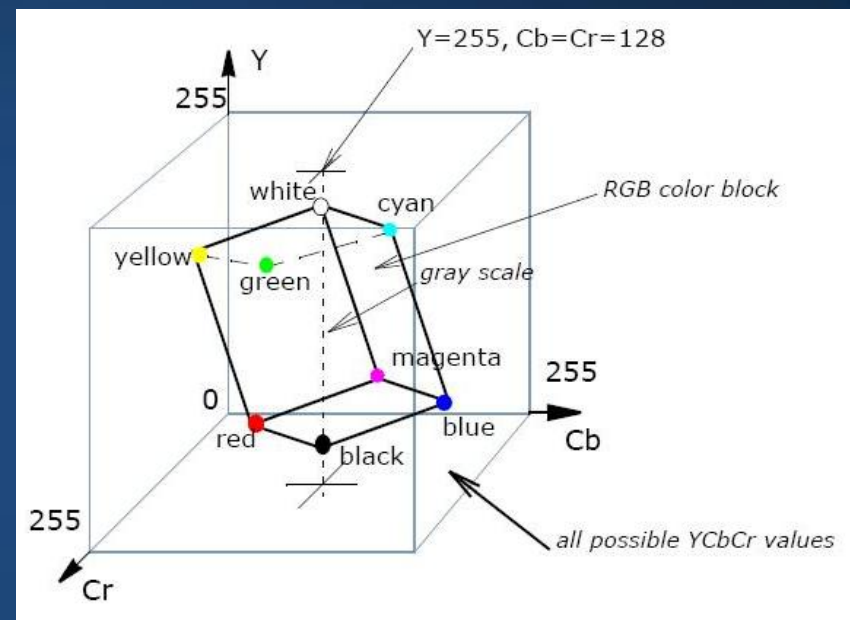
$$R' = Y' + 1.140 * V'$$

$$G' = Y' - 0.394 * U' - 0.581 * V'$$

$$B' = Y' + 2.032 * U'$$



YCbCr a YCCK



- **YCbCr** component digital video
- Popísané v štandarde ITU-R BT.601
- YCbCr je škálovaná a posunutá verzia YUV
- Y'Cb'Cr' vypočítané z RGB s gama korekciou (R G B)
- **YCCK** – špeciálne pre JPEG kompresiu obrazu
- Je variáciou YCrCb modelu s pridaným K (black) kanálom

LINEÁRNE VZŤAHY

Color space	Matrix/coefficients
YC_bC_r	$\begin{bmatrix} 0.299 & 0.587 & 0.114 \\ -0.168736 & -0.331264 & 0.5 \\ 0.5 & -0.418668 & -0.081312 \end{bmatrix}$
YCC	$\begin{bmatrix} 0.299 & 0.587 & 0.114 \\ -0.299 & -0.587 & 0.886 \\ 0.701 & -0.587 & -0.114 \end{bmatrix}$
YIQ	$\begin{bmatrix} 0.299 & 0.587 & 0.114 \\ 0.59597799 & -0.27417610 & -0.32180189 \\ 0.21147017 & -0.52261711 & 0.31114694 \end{bmatrix}$
YUV	$a_1 = 0 \quad b_1 = 1/2.03$ $a_2 = 1/1.14 \quad b_2 = 0$

Polárne súradnice

$$Hue = \tan^{-1} \left(\frac{C_2}{C_1} \right)$$

$$Saturation = \sqrt{C_1^2 + C_2^2}$$

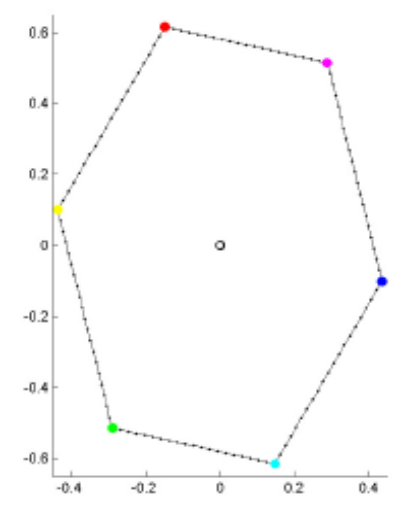
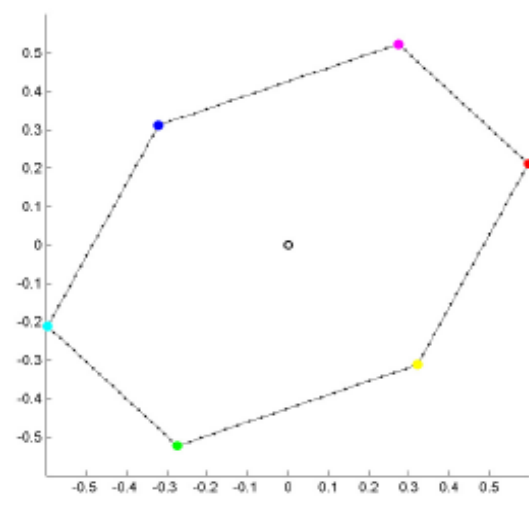
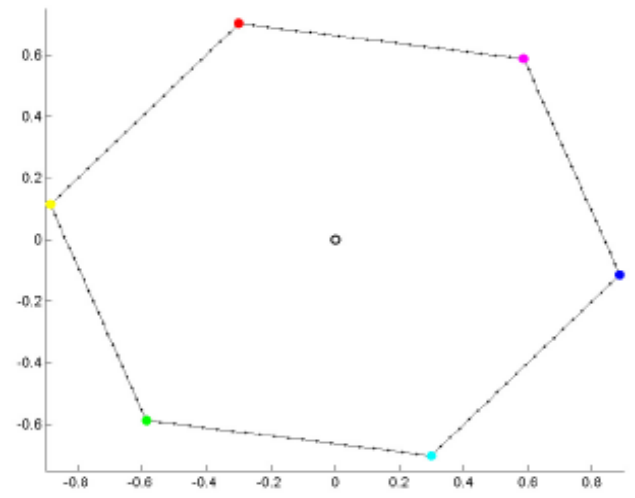
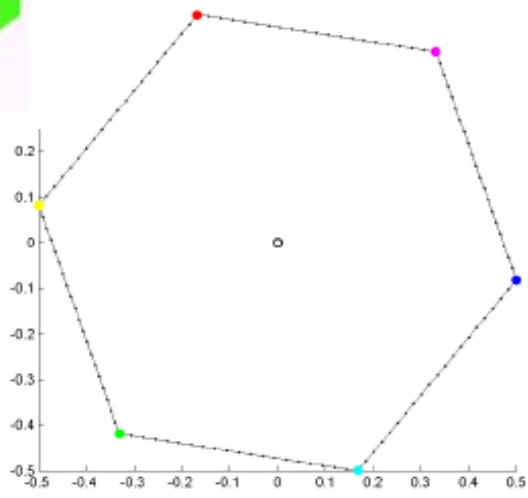
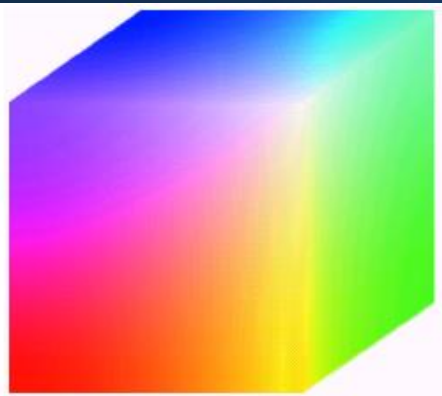


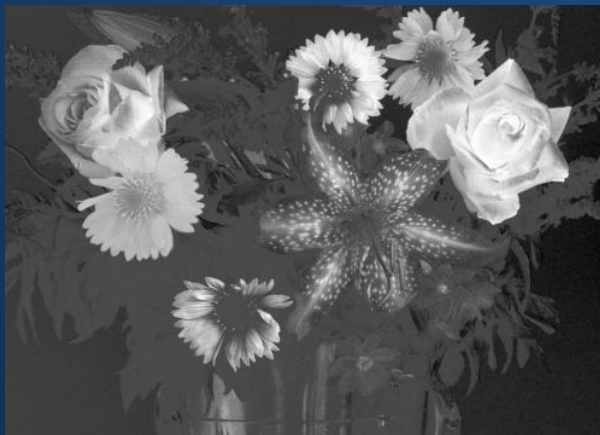
Figure 1.18: Class Y' color spaces. Projection along the Y' axis. a) YC_bC_r , b) YCC , c) YIQ , d) YUV .

YIQ



Y

I



Q

Color space	Color mixing	Primary parameters	Used for	Pros and cons
RGB	Additive	Red, Green, Blue		Easy but wasting bandwidth
CMYK	Subtractive	Cyan, Magenta, Yellow, Black	Printer	Works in pigment mixing
YCbCr YPbPr	additive	Y(luminance), Cb(blue chroma), Cr(red chroma)	Video encoding, digital camera	Bandwidth efficient
YUV	additive	Y(luminance), U(blue chroma), V(red chroma)	Video encoding for NTSC, PAL, SECAM	Bandwidth efficient
YIQ	additive	Y(luminance), I(rotated from U), Q(rotated from V)	Video encoding for NTSC	Bandwidth efficient

UŽÍVATEĽSKY ORIENTO VANÉ MODELY

Analógia s maliarskym pohľadom
(odtieň, sýtosť, jas)

Vhodné pre vizualizáciu (color maps)

Nelineárny prevod z/do RGB

Tvar: kužel (aj dvojitý), ihlan, niekedy valec

Zmena
odtieňa



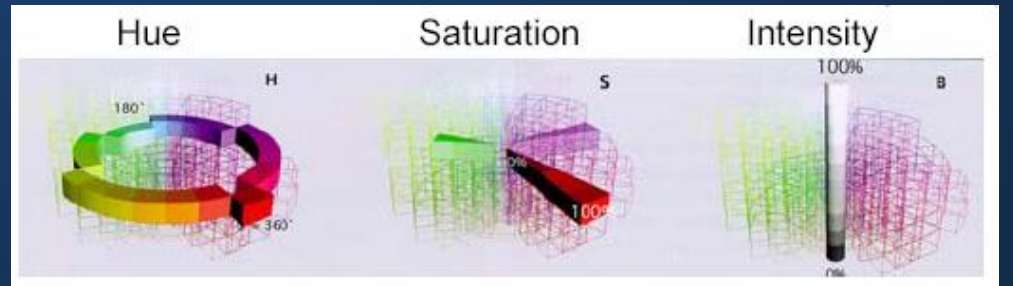
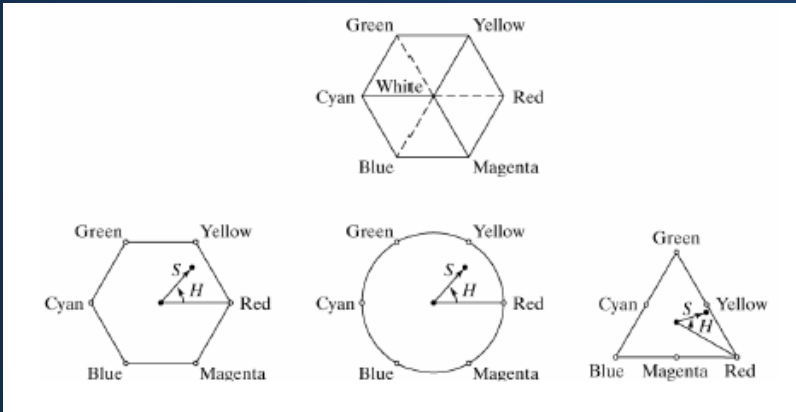
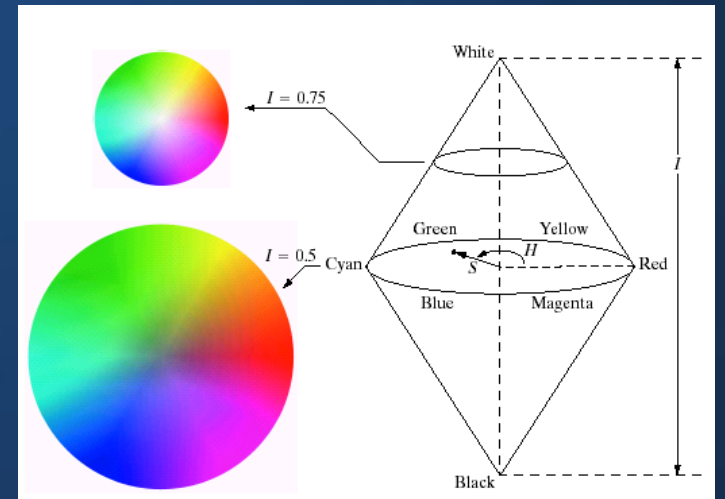
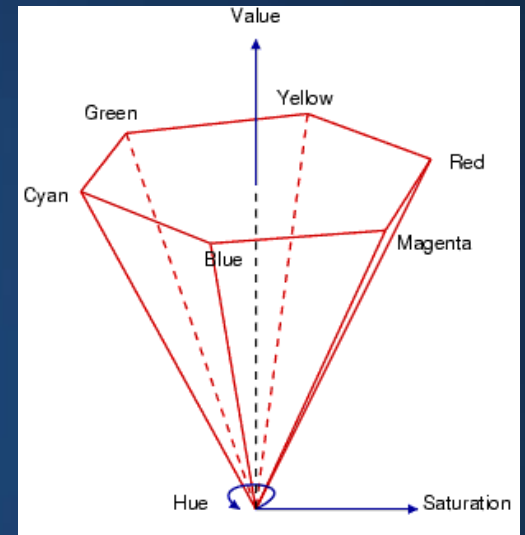
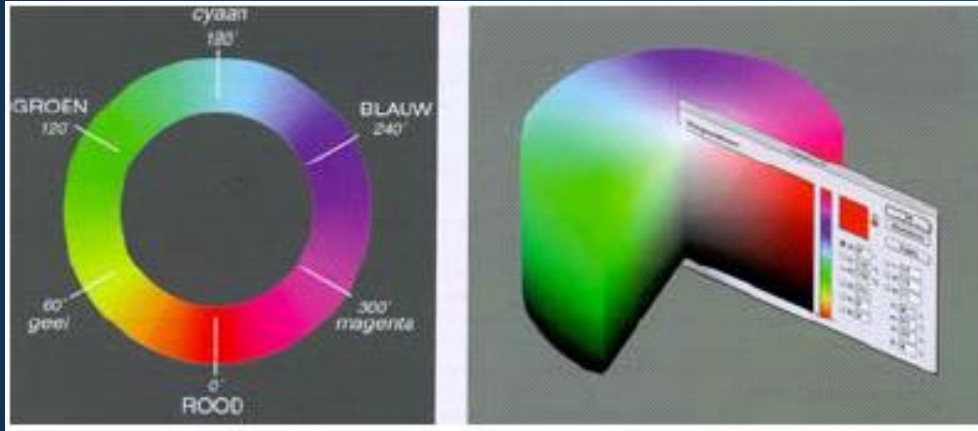
sýtosť



jasu



TVARY



RGB → HSV

$\max(R, G, B)$

$\min(R, G, B)$

$V = \max$

$S = (\max - \min) / \max$

$H = (G - B)A$

$(B - R)A$

$(R - G)A$

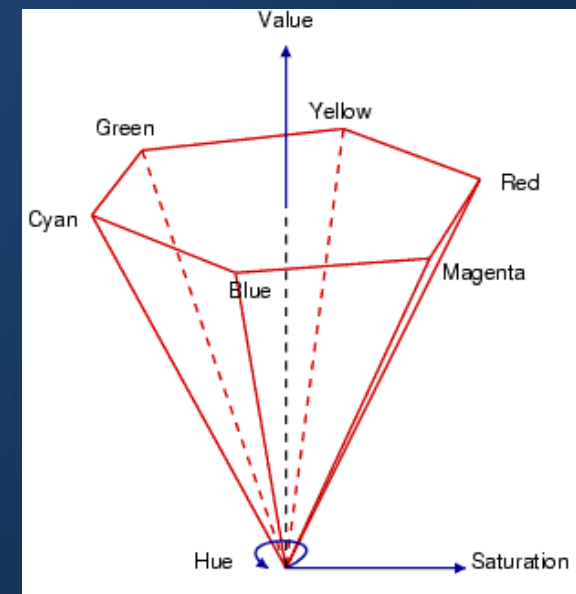
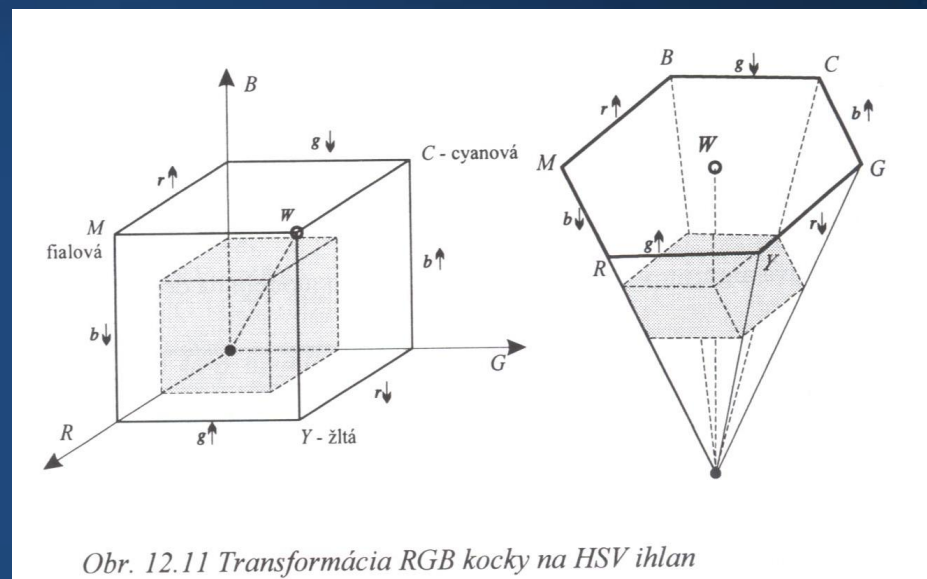
ak $\max = R$

ak $\max = G$

ak $\max = B$

$A = \pi/3(\max - \min)$

ak $\max = 0$, S nie je definovaná
ak $R = G = B$, H nie je definovaná



HSV → RGB

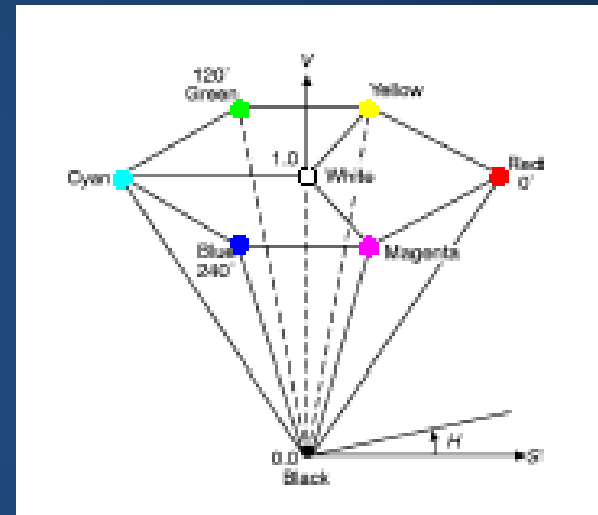
$$I = \text{floor}(3H/\pi)$$

$$f = H - I$$

$$p = V(1 - S)$$

$$q = V(1 - Sf)$$

$$t = V(1 - S(1 - f))$$



$$[R \ G \ B] = [V \ t \ p] \quad \text{ak } I = 0$$

$$[q \ V \ p] \quad \text{ak } I = 1$$

$$[p \ V \ t] \quad \text{ak } I = 2$$

$$[p \ q \ V] \quad \text{ak } I = 3$$

$$[t \ p \ V] \quad \text{ak } I = 4$$

$$[V \ p \ q] \quad \text{ak } I = 5$$

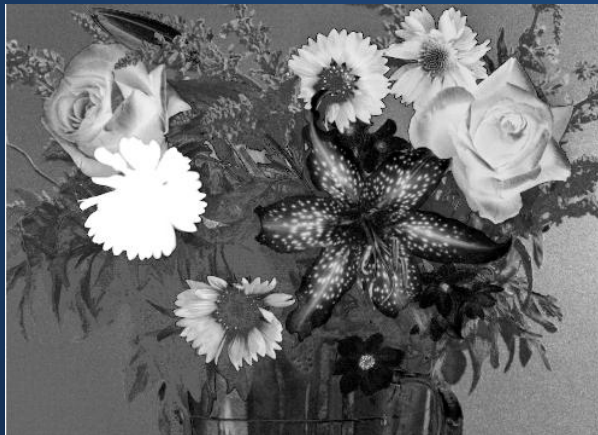
$$[0 \ 0 \ 0] \quad \text{ak } S = 0$$

HSV PLANES



H

S



V

RGB → HSI

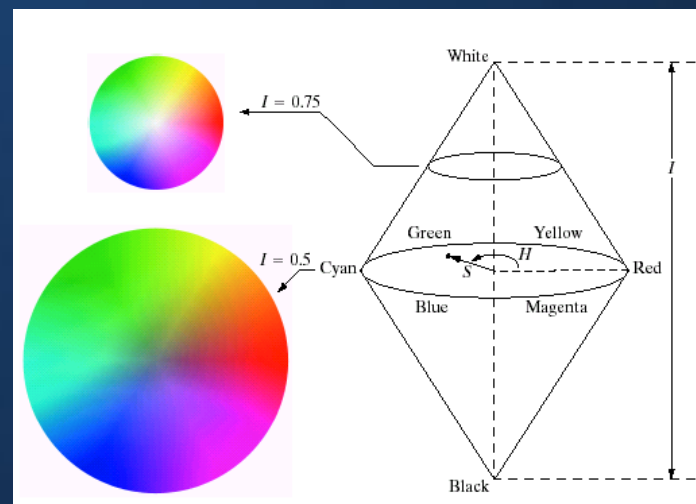
$$I = \frac{1}{3}(R+G+B)$$

$$H = \begin{cases} \theta & \text{for } B \leq R \\ \theta + 120 & \text{for } B > R \end{cases}$$

$$S = \frac{\max(R, G, B) - \min(R, G, B)}{\max(R, G, B)}$$

$$\begin{cases} R = I(1 + S \cos H) \\ G = I(1 + S \cos(H - 120)) \\ B = I(1 + S \cos(H + 120)) \end{cases}$$

H – normalizácia do $\langle 0, 1 \rangle$: $H / 360$
ak $R = G = B$, H nie je definovaná
ak $I = 0$, S nie je definovaná



HSI → RGB

Záleží na tom, v ktorom sektore leží H

RG sektor ($0^{\circ} \leq H \leq 120^{\circ}$):

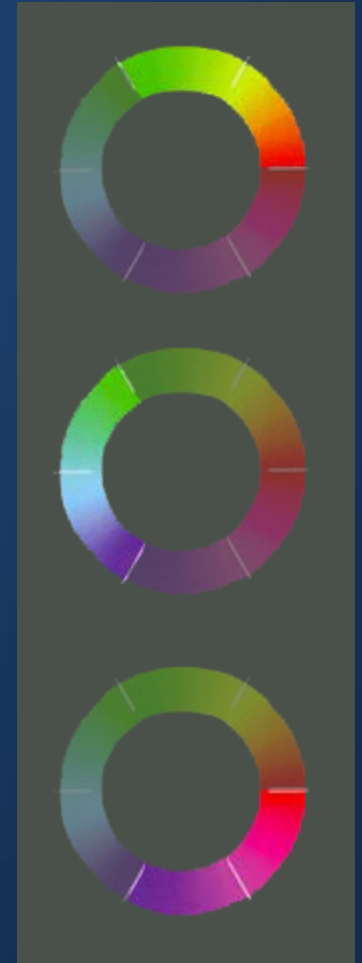
$$b = \frac{I}{3}(1 - S)$$
$$r = \frac{I}{3} \left[1 + \frac{S \cos(H)}{\cos(60^{\circ} - H)} \right]$$
$$g = I - (r + b)$$

GB sektor ($120^{\circ} \leq H \leq 240^{\circ}$):

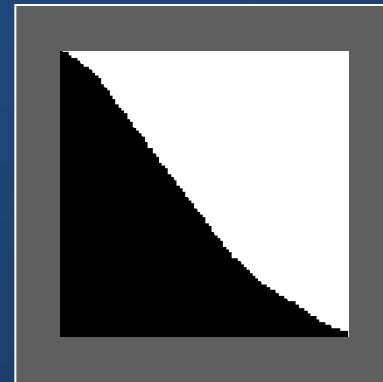
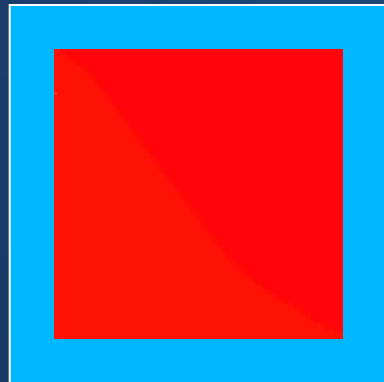
$$H = H - 120^{\circ}$$
$$g = \frac{I}{3} \left[1 + \frac{S \cos(H)}{\cos(60^{\circ} - H)} \right]$$
$$r = \frac{I}{3}(1 - S)$$
$$b = I - (r + g)$$

BR sektor ($240^{\circ} \leq H \leq 360^{\circ}$):

$$g = \frac{1 - S}{3}, \quad b = \frac{1}{3} \left[1 + \frac{S \cos H}{\cos(60 - H)} \right], \quad r = 1 - g - b$$



PROBLÉM?



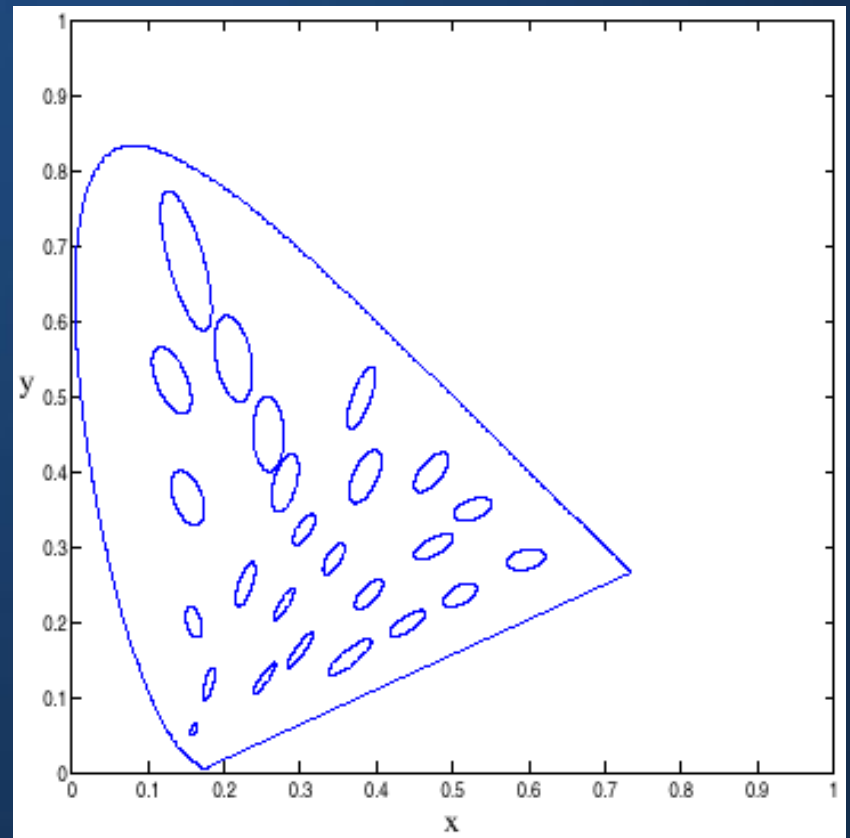
$H = 1$

$H = 359$

McAdamove elipsy

- V doteraz spomínaných modeloch:
- Euklidovská vzdialenosť farieb nezodpovedá vizuálnej „vzdialenosti“

McAdamove elipsy v xy –
pre pozorovateľa
nerozlíšiteľné farby



CIE UVW

Lineárna aproximácia vnemovo rovnomerného priestoru

$$\begin{bmatrix} U \\ V \\ W \end{bmatrix} = \begin{bmatrix} 0.66 & 0 & 0 \\ 0 & 1 & 0 \\ -0.5 & 1.5 & 0.5 \end{bmatrix} \begin{bmatrix} X \\ Y \\ Z \end{bmatrix}$$

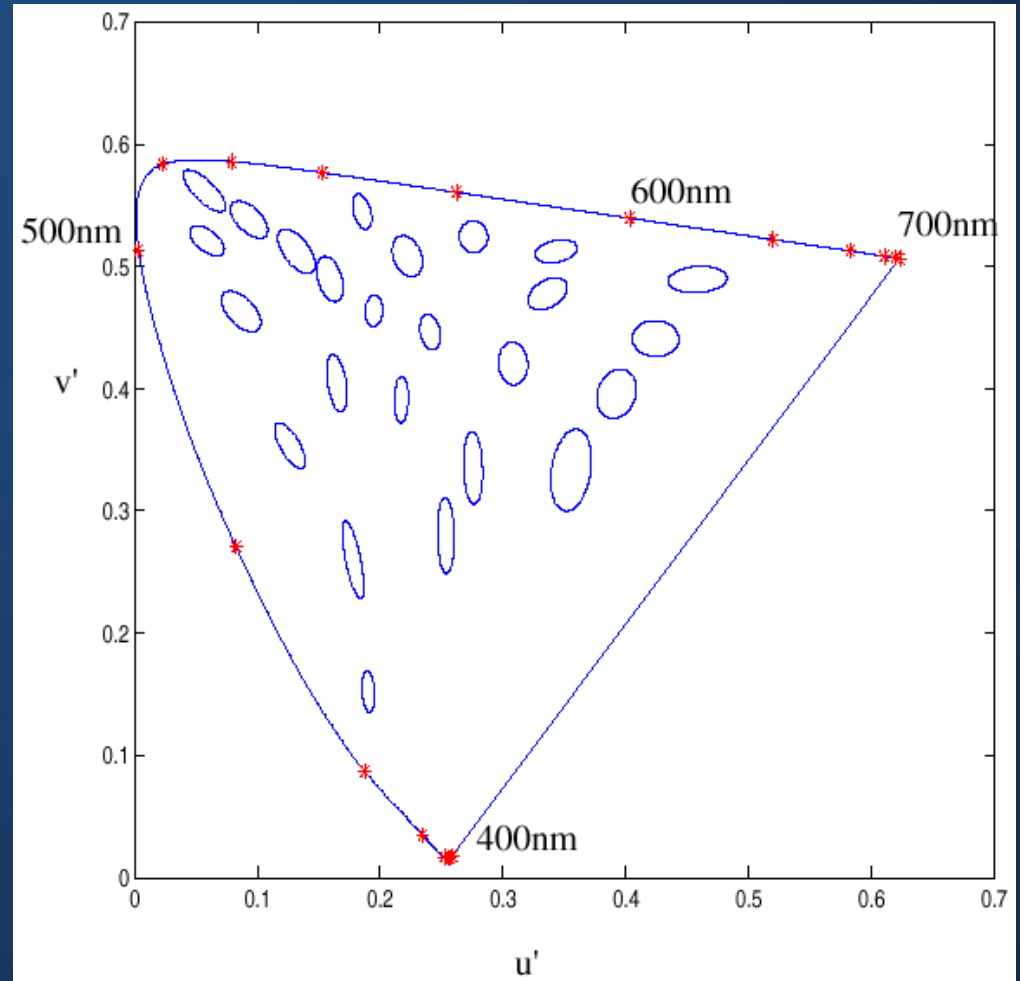
Nerieši problém úplne

→ nelineárne transformácie

CIE YU'V'

$$u' = \frac{4X}{X+15Y+3Z}$$

$$v' = \frac{9Y}{X+15Y+3Z}$$

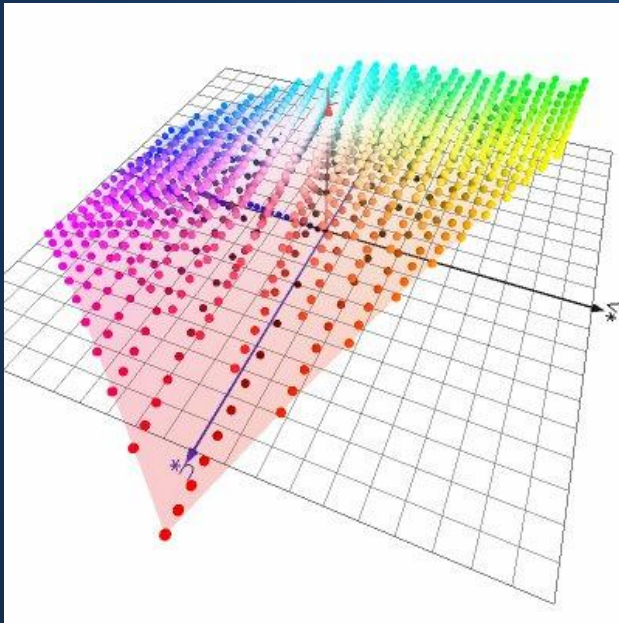


CIE L*U*V*

L^* - jas

u^* , v^* - farebné súradnice

n – súradnice bieleho bodu



$$L^* = \begin{cases} 116 \left(\frac{Y}{Y_n} \right)^{\frac{1}{3}} - 16 & \text{ak } \frac{Y}{Y_n} > 0.008856 \\ 903.3 \frac{Y}{Y_n} & \text{ak } \frac{Y}{Y_n} \leq 0.008856 \end{cases}$$

$$u^* = 13L^* (u' - u'_n)$$

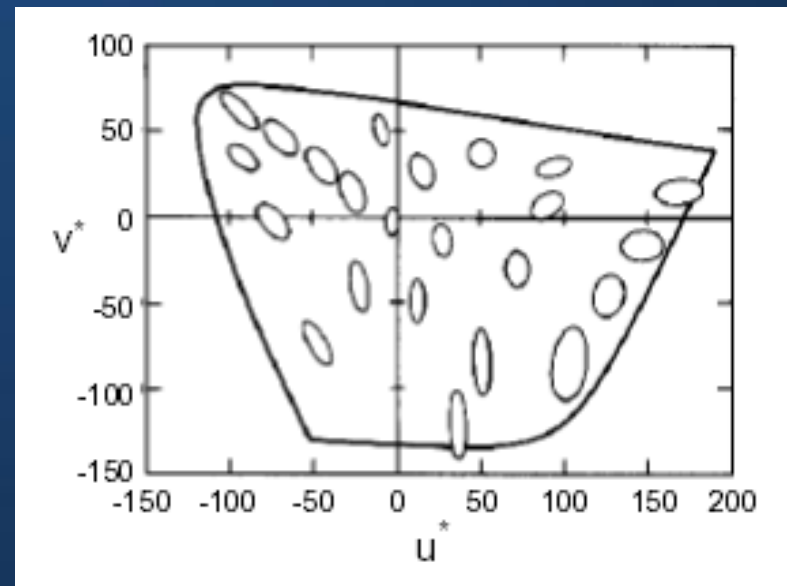
$$v^* = 13L^* (v' - v'_n)$$

CIE L*U*V*

Polárne súradnice
Farebnosť
Odtieň ($u, v > 0$)

$$C^* = \sqrt{u^{*2} + v^{*2}}$$
$$h_{uv} = \arctan\left(\frac{v^*}{u^*}\right)$$

McAdamove elipsy



CIE L*A*B*

L* - jas výpočet ako pri CIE L*u*v*

a*, b* - farebné súradnice

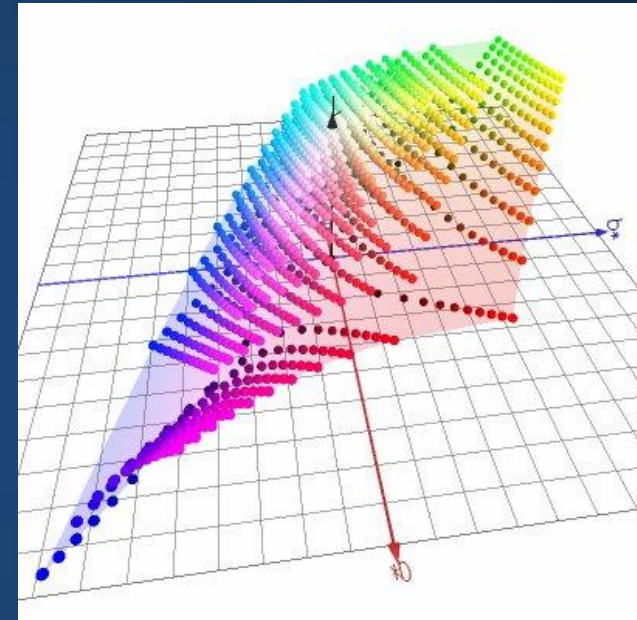
n – súradnice bieleho bodu

Používaný v priemysle

$$a^* = 500 \left(f \left(\frac{X}{X_n} \right) - f \left(\frac{Y}{Y_n} \right) \right)$$

$$b^* = 200 \left(f \left(\frac{Y}{Y_n} \right) - f \left(\frac{Z}{Z_n} \right) \right)$$

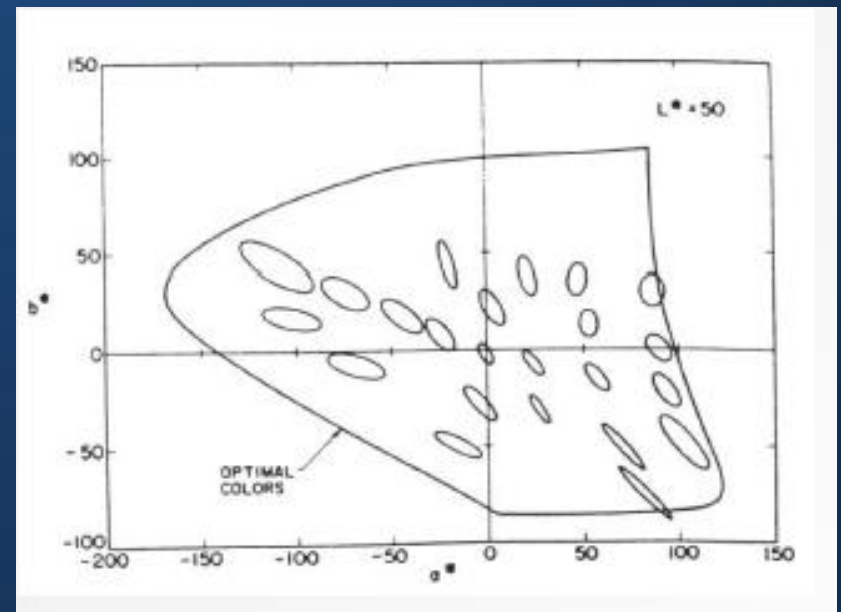
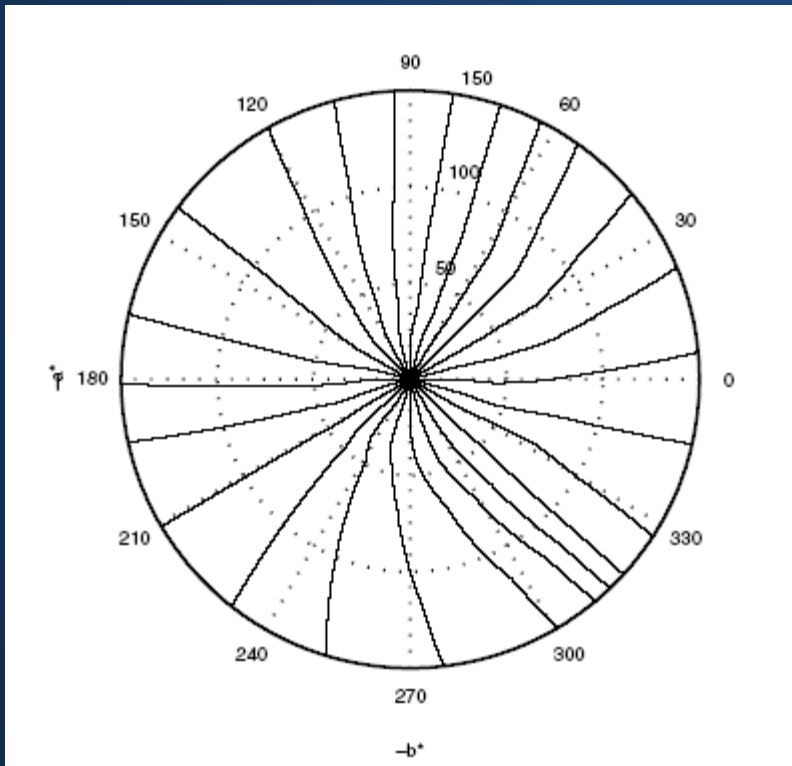
$$f(t) = \begin{cases} t^{\frac{1}{3}} & \text{ak } t > 0.008856 \\ 7.787t + \frac{16}{116} & \text{ak } t \leq 0.008856 \end{cases}$$



CIE L*A*B*

Polárne súradnice
Farebnosť
Odtieň (a,b>0)

$$C^* = \sqrt{a^{*2} + b^{*2}}$$
$$h_{ab} = \arctan\left(\frac{b^*}{a^*}\right)$$



VZDIALENOSŤ FARIEB

Euklidovská vzdialenosť

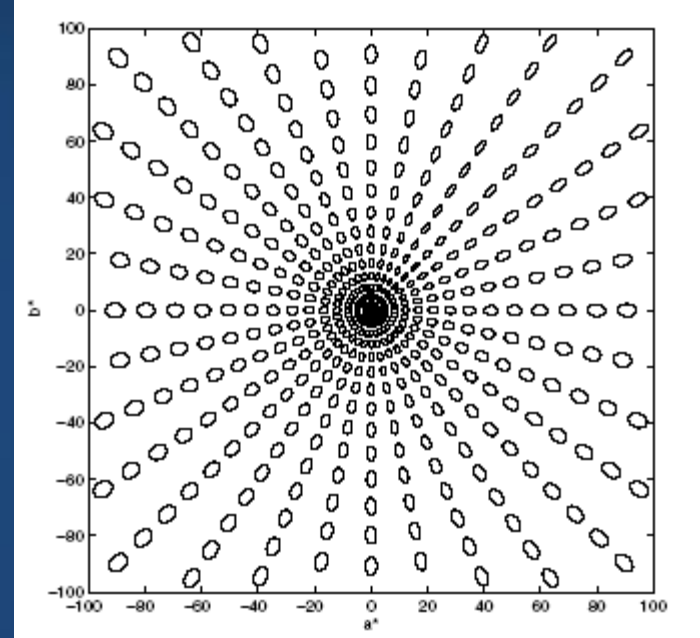
CIE $L^*a^*b^*$

$$\sqrt{(L_1^* - L_2^*)^2 + (a_1^* - a_2^*)^2 + (b_1^* - b_2^*)^2}$$
$$\sqrt{(L_1^* - L_2^*)^2 + (a_1^* - a_2^*)^2 + (b_{1ab}^* - b_{2ab}^*)^2}$$

CIE $L^*u^*v^*$ podobne

ΔE_{Lab}^*	Effect
< 3	Not perceptible
$3 < 6$	Perceptible, but acceptable
> 6	Not acceptable

VZDIALENOSŤ FARIEB



$$\Delta E = \sqrt{\left(\frac{\Delta L^*}{k_L S_L}\right)^2 + \left(\frac{\Delta C^*}{k_C S_C}\right)^2 + \left(\frac{\Delta H^*}{k_H S_H}\right)^2 + R_T \phi(\Delta C^* \Delta H^*)} \quad (1.43)$$

where k_L, k_C, k_H = positive, real-valued scaling parameters chosen based on the application where the formula is used

S_L, S_C, S_H = lightness-, chroma-, and hue-dependent scaling functions, respectively

R_T = an additional scaling function that depends on chroma and hue

NEKORELOVANÉ MODELY

Farebné zložky (vo väčšine modelov)

- korelované (medzi sebou a najmä s jasovou zložkou)
- s malou variáciou (nízkou možnosťou diskriminácie objektov)

Nové modely, kde zložky nie sú korelované

NEKORELOVANÉ MODELY

$K_1K_2K_3$ - Karhunen-Loeve transformácia
(výpočtovo náročná, kovariančná matica,
vlastné vektory, ...)

Dátovo závislá – pre každý obrázok treba novú
transformačnú maticu

$$\begin{bmatrix} K_1 \\ K_2 \\ K_3 \end{bmatrix} = \begin{bmatrix} m_{11} & m_{12} & m_{13} \\ m_{21} & m_{22} & m_{23} \\ m_{31} & m_{32} & m_{33} \end{bmatrix} \begin{bmatrix} R \\ G \\ B \end{bmatrix}$$

$$\begin{bmatrix} m_{11} & m_{12} & m_{13} \\ m_{21} & m_{22} & m_{23} \\ m_{31} & m_{32} & m_{33} \end{bmatrix} \begin{bmatrix} u_{11} & u_{12} & u_{13} \\ u_{12} & u_{22} & u_{23} \\ u_{13} & u_{23} & u_{33} \end{bmatrix} \begin{bmatrix} m_{11} & m_{21} & m_{31} \\ m_{12} & m_{22} & m_{32} \\ m_{13} & m_{23} & m_{33} \end{bmatrix} = \begin{bmatrix} \lambda_1 & 0 & 0 \\ 0 & \lambda_2 & 0 \\ 0 & 0 & \lambda_3 \end{bmatrix}$$

INÉ FAREBNÉ MODELY

$$T = \arctan(r'/g')/\pi + 1/2$$

$$r' = (r - 1/3)$$

$$S = [9/5(r'^2 + g'^2)]^{1/2}$$

$$g' = (g - 1/3)$$

$$V = (R + G + B)/3,$$

$$T = \begin{cases} \arctan(r'/g')/2\pi + 1/4 & g' > 0 \\ \arctan(r'/g')/2\pi + 3/4 & g' < 0 \\ 0 & g' = 0 \end{cases}$$

$$S = [9/5(r'^2 + g'^2)]^{1/2}$$

$$L = 0.299R' + 0.587G' + 0.114B',$$

„uhlový“ model

I1I2I3 (Ohta) – oponent model
lineárna transformácia

$$I_1 = (R + G + B)/3$$

$$I_2 = R - G$$

$$I_3 = B - \frac{R + G}{2}.$$

„Modrá = 0“

$$\begin{bmatrix} I \\ V_1 \\ V_2 \end{bmatrix} = \begin{bmatrix} \frac{1}{3} & \frac{1}{3} & \frac{1}{3} \\ \frac{-1}{\sqrt{6}} & \frac{-1}{\sqrt{6}} & \frac{2}{\sqrt{6}} \\ \frac{1}{\sqrt{6}} & \frac{-1}{\sqrt{6}} & 0 \end{bmatrix} \begin{bmatrix} R \\ G \\ B \end{bmatrix}$$

$$H = \arctan\left\{\frac{V_2}{V_1}\right\}$$

$$S = (V_1^2 + V_2^2)^{1/2}$$

Log oponent model

$$L(x) = 105 \log_{10}(x + 1 + n)$$

$$I = L(G)$$

$$R_g = L(R) - L(G)$$

$$B_y = L(B) - \frac{L(G) + L(R)}{2},$$

$$L = (R + 1)^{0.3}(G + 1)^{0.6}(B + 1)^{0.1} - 1$$

$$U = \begin{cases} \frac{M}{2} \frac{R+1}{L+1} & R < L \\ M - \frac{M}{2} \frac{L+1}{R+1} & \text{otherwise} \end{cases}$$

$$X = \begin{cases} \frac{M}{2} \frac{B+1}{L+1} & B < L \\ M - \frac{M}{2} \frac{L+1}{B+1} & \text{otherwise,} \end{cases}$$

contrast enhancement
logarithmic image processing

$$\hat{U} = \begin{cases} 256 \frac{G}{R} & R > G \\ 255 & \text{otherwise.} \end{cases}$$

$$\begin{bmatrix} Y \\ E \\ S \end{bmatrix} = \begin{bmatrix} 0.253 & 0.684 & 0.065 \\ 0.5 & -0.5 & 0 \\ 0.25 & 0.25 & -0.5 \end{bmatrix} \begin{bmatrix} R \\ G \\ B \end{bmatrix}$$

XEROX – IR imagery

Table 1.3. Color Model

Color System	Transform (from RGB)	Component correlation
RGB	-	highly correlated
R'G'B'	non linear	
XYZ	linear	correlated
YIQ	linear	uncorrelated
YCC	linear	uncorrelated
I1I2I3	linear	correlated
HSV	non linear	correlated
HSI	non linear	correlated
HLS	non linear	correlated
L*u*v*	non linear	correlated
L*a*b*	non linear	correlated
Munsell	non linear	correlated

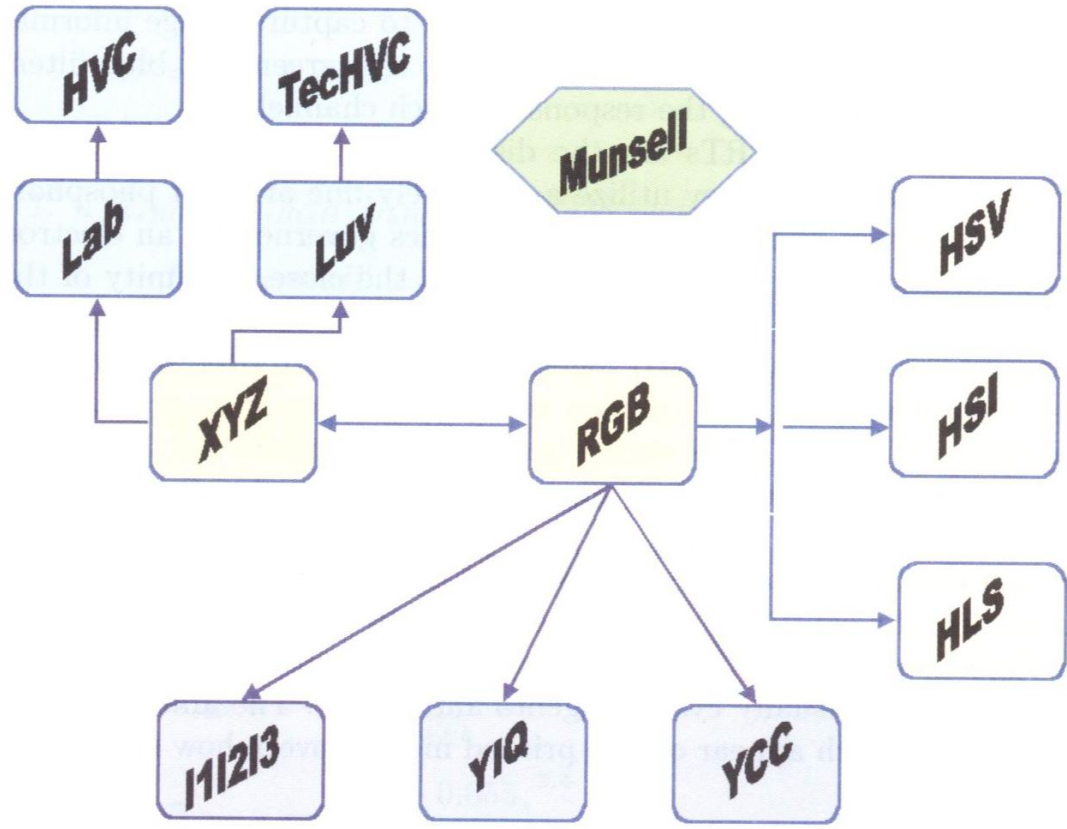
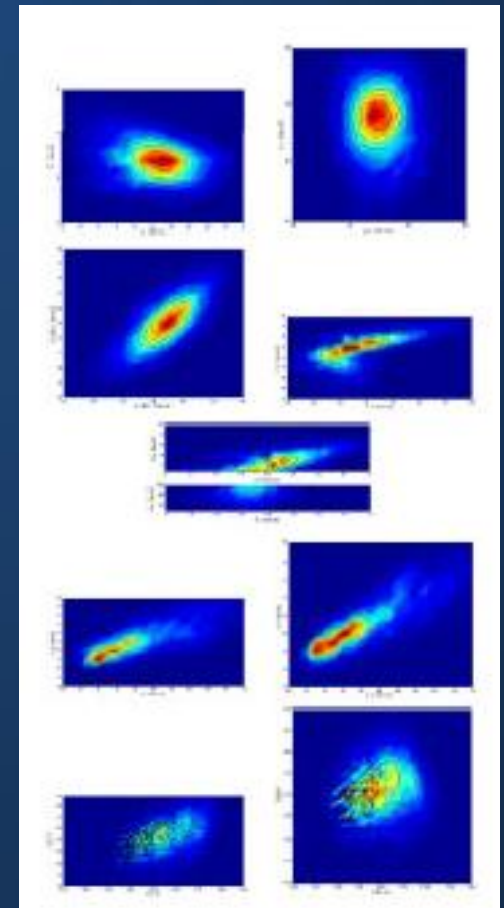
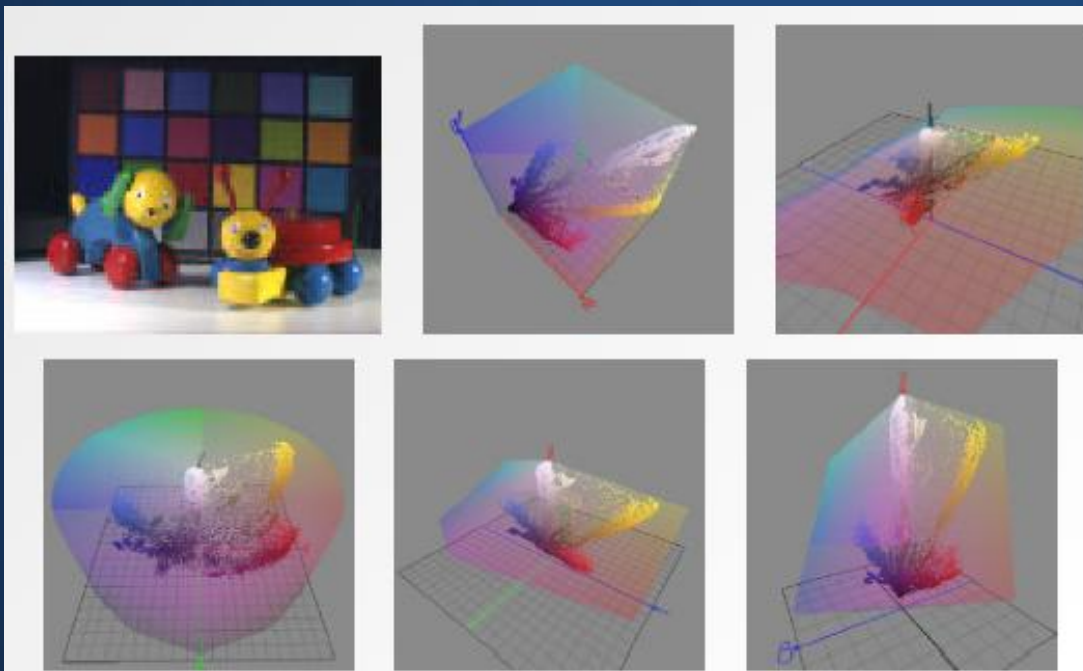


Fig. 1.16. A taxonomy of color models

POUŽITIE MODELOV

Ľudské tváre



FARBOSLEPOTA

– porucha farbocitu (genetická alebo získaná)

Ku genetickým patria

- Dichromázia

jeden typ čapíkov chýba

1. protanope nevidí červenú - Daltonizmus,
2. deuteranope nevidí zelenú,
3. tritanope nevidí modrú

Protanopia a deuteranopia = červeno-zelená slepota
8% mužov a 0.5% žien

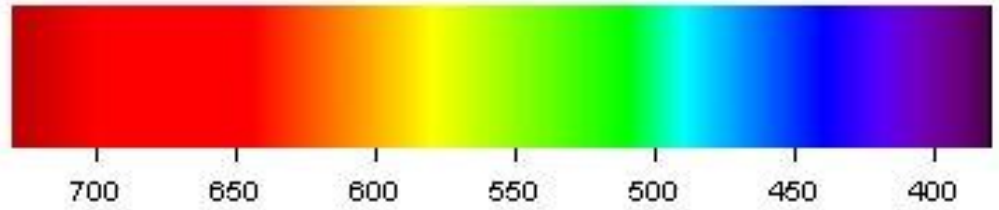
- Anomálna trichromázia

- Znížená citlivosť jedného typu čapíkov =>
Posunuté vnímanie farieb

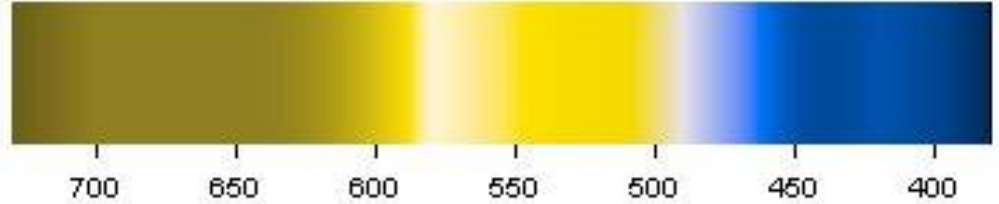
- Monochromázia – nerozlišuje farby vôbec



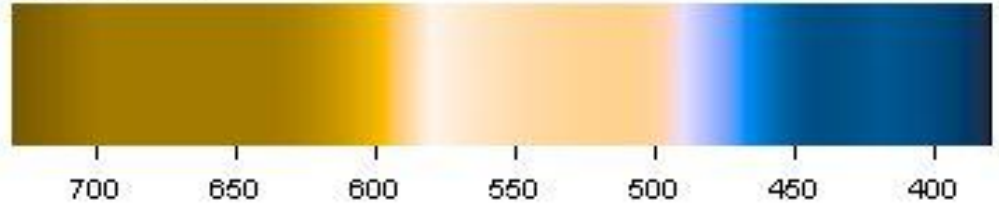
Normal



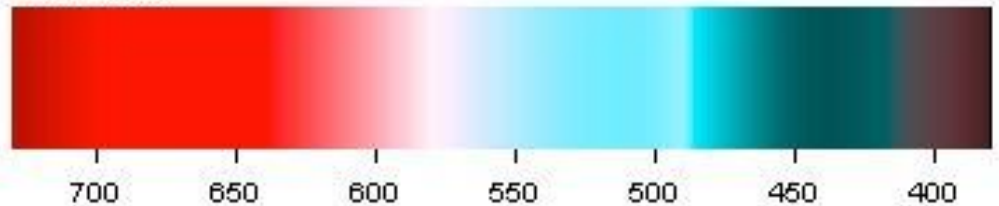
Protanopia



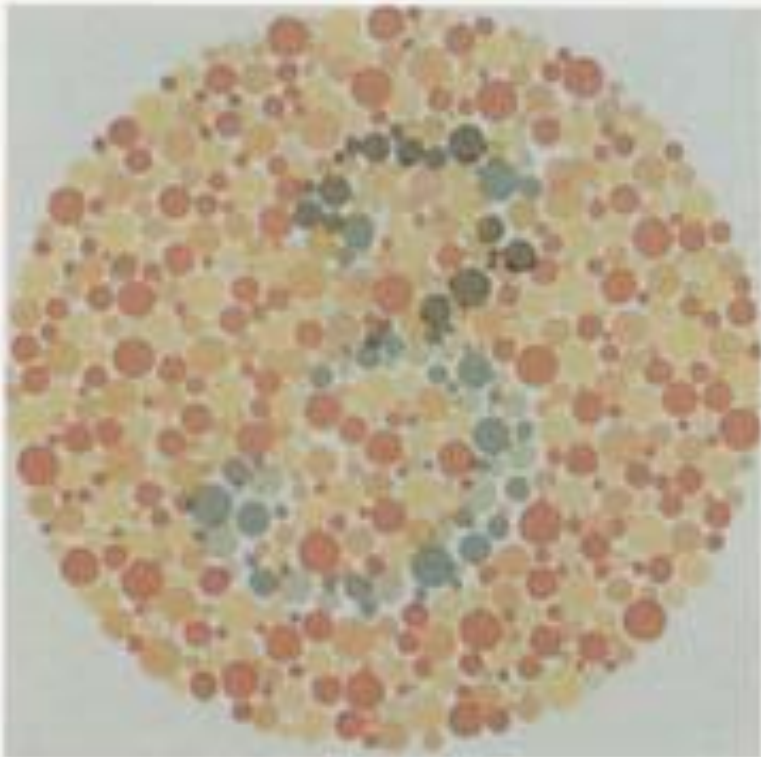
Deuteranopia



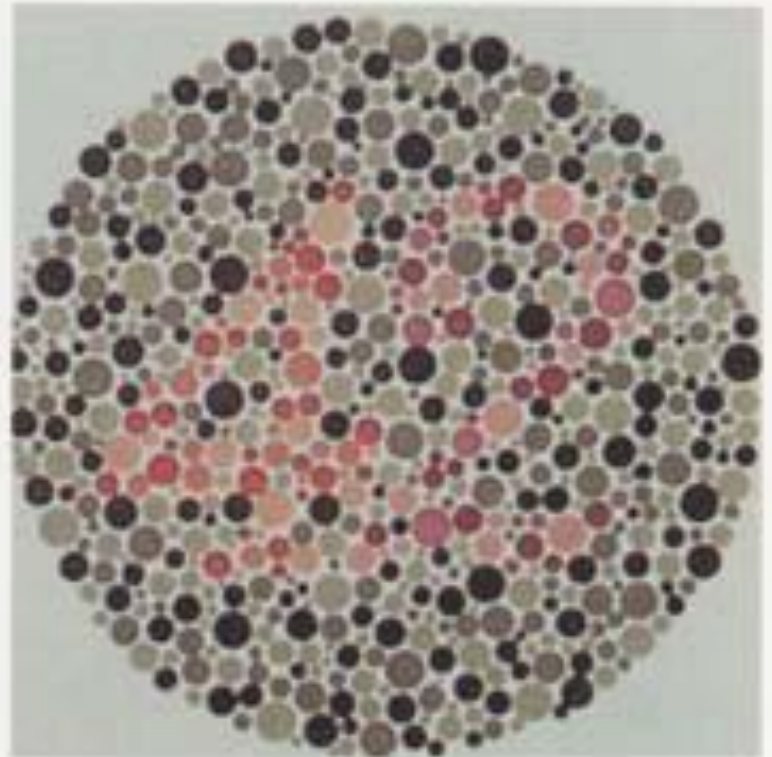
Tritanopia



TEST FARBOSLEPOTY



A

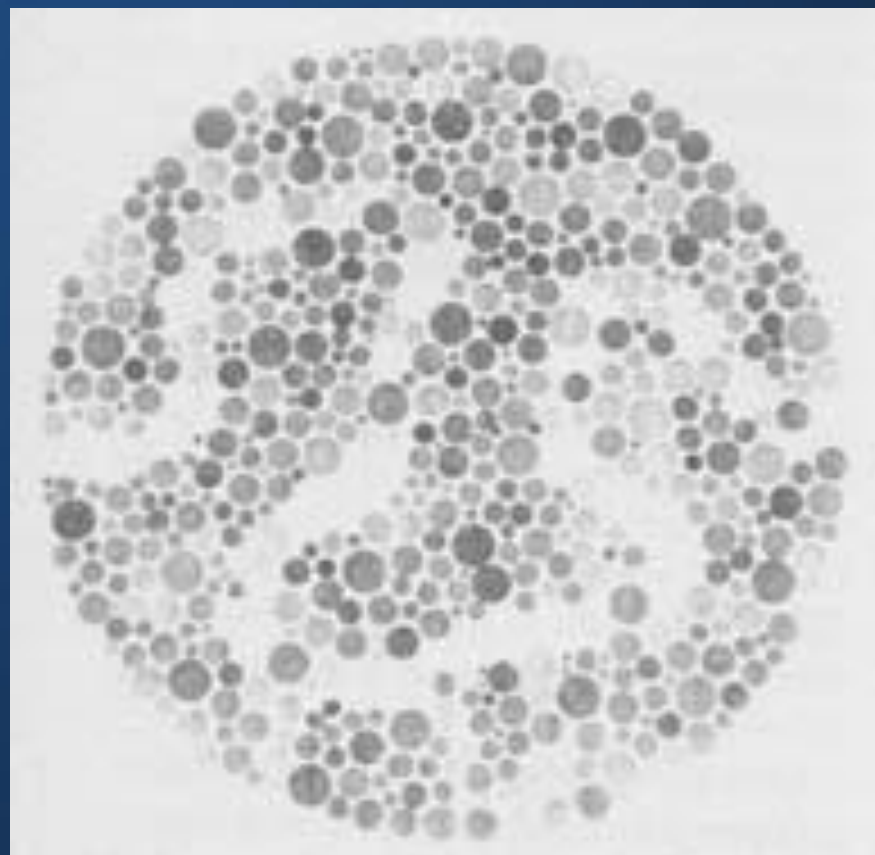
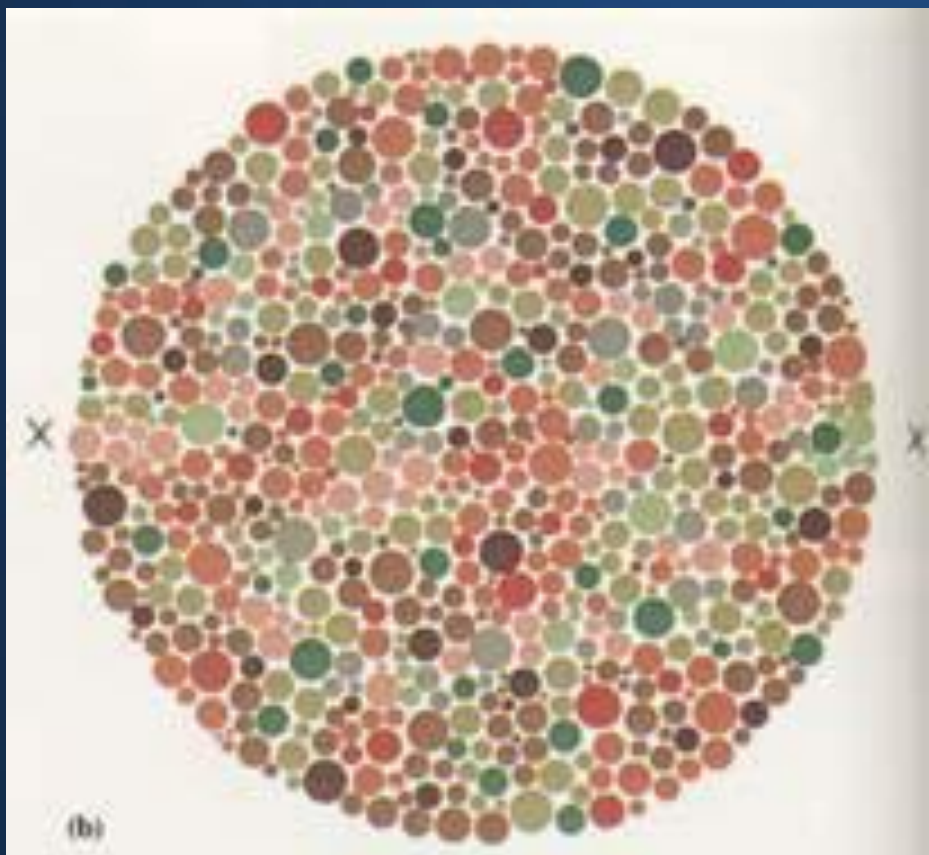


B

TEST FARBOSLEPOTY

Bludisko v intenzite farieb

- viditeľné len pre farboslepých





Meryon (a colorblind painter), *Le Vaisseau Fantôme*